

ны трещины, проходят по ее берегу, а затем срываются под прямым углом и возвращаются в вершину. Для антисимметричной части $\xi^{(3)}$ потоков $\Pi_{2,3}$ вдоль берегов трещины нет (нет уголковых членов).

Выявленный характер распространения потоков энергии у конца трещины, по-видимому, является общим для всех тонких дефектов, у концов которых наблюдается особенность перерезывающей силы вида $r^{-\frac{1}{2}}$ [2, 4], т. е. в разложении (3) присутствует член $\xi^{(3)}$.

СПИСОК ЛИТЕРАТУРЫ

1. Попов Г. Я., Толкачев В. М. Проблема контакта жестких тел с тонкостенными элементами. // Изв. АН СССР. МТТ. 1980. № 4. С. 192–206.
2. Онищук О. В., Попов Г. Я. О некоторых задачах изгиба пластин с трещинами и тонкими включениями. // Изв. АН СССР. МТТ. 1980. № 4. С. 141–150.
3. Попов Г. Я. Концентрация упругих напряжений возле штампов, разрезов, тонких включений и подкреплений. // М.: Наука, 1982. 342 с.
4. Климюк Ю. С., Онищук О. В., Попов Г. Я. Задачи о колебаниях и устойчивости прямоугольной пластинки с тонким включением. // Изв. АН СССР. МТТ. 1984. № 6. С. 137–143.
5. Хенл X., Мауз А., Вестпфаль К. Теория дифракции. // М.: Мир, 1964. 428 с.
6. Кондратьев В. А., Олейник О. А. Краевые задачи для уравнений с частными производными в негладких областях. // Успехи мат. наук. 1983. Т. 38. Вып. 2. С. 3–76.
7. Белинский Б. П., Коузов Д. П. О формулах типа формул Грина для изгиба колеблющейся пластины. // Акуст. ж. 1981. Т. 27. Вып. 5. С. 710–718.

Ленинград

Поступила в редакцию
30.XII.1988

УДК 539.3:534.1

© 1990 г.

А. П. ЧУГАЙНОВА

О ВЫХОДЕ НЕЛИНЕЙНЫХ ВОЛН НА АВТОМОДЕЛЬНЫЙ РЕЖИМ В ЗАДАЧЕ О ДЕЙСТВИИ ВНЕЗАПНОГО ИЗМЕНЕНИЯ НАГРУЗКИ НА ГРАНИЦЕ УПРУГОГО ПОЛУПРОСТРАНСТВА

Изучаются движения в виде плоских нелинейных квазипоперечных волн в слабоанизотропной упругой среде.

В [1, 2] при построении решения автомодельной задачи о действии внезапного изменения нагрузки на границе упругого полупространства была обнаружена неединственность решения для некоторых областей параметров задачи. Вопрос выбора решения рассматривался для определенного класса упругих сред в [3]. В данной работе численно найдены автомодельные асимптотики ряда неавтомодельных задач для вязкоупругих сред, не рассмотренных в [3].

Аналогично [3] используются приближенные уравнения, описывающие слабо-нелинейные квазипоперечные волны в вязкоупругой среде с малой анизотропией, распространяющиеся только в одну сторону

$$\frac{\partial u_\alpha}{\partial t} + \frac{\partial}{\partial x} \left(\frac{\partial R}{\partial u_\alpha} - \frac{\tau_{\alpha 3}}{2(\mu \rho_0)^{\frac{1}{2}}} \right) = 0 \quad (\alpha=1, 2) \quad (1)$$

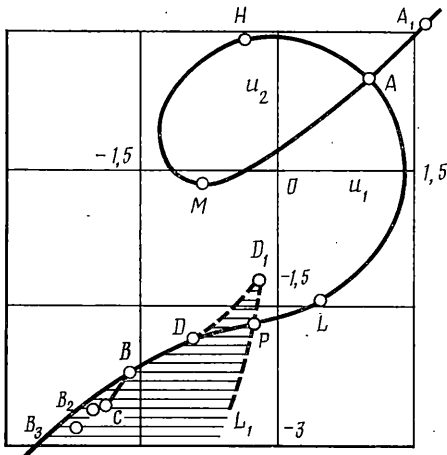
$$R(u_1, u_2) = \frac{1}{2}(f-g)u_1^2 + \frac{1}{2}(f+g)u_2^2 - \frac{1}{8}\kappa_1(u_1^2 + u_2^2)^2$$

$$u_\alpha = \partial w_\alpha / \partial x, \quad \tau_{\alpha 3} = \rho_0 v \partial u_\alpha / \partial t \approx v(\mu \rho_0)^{\frac{1}{2}} \partial u_\alpha / \partial x$$

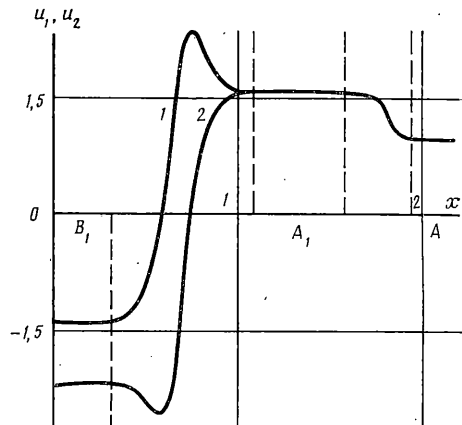
Здесь w_α — перемещения частиц, рассматриваемые как функции лагранжевых координат $x_1, x_2, x_3=x$, $\tau_{\alpha 3}$ — компоненты тензора вязких напряжений, ρ_0 — плотность в ненапряженном состоянии, μ — упругий коэффициент Ламе, v — кинематический коэффициент вязкости, g — параметр анизотропии ($g \ll f$), f — характеристическая скорость при отсутствии анизотропии и нелинейности, f, g — постоянные, κ_1 — постоянная с размерностью скорости, характеризующая нелинейные эффекты.

В результате построения решения автомодельной задачи о внезапном изменении нагрузки на границе упругого полупространства [1, 2] отмечено, что одним и тем же начальными условиями $u_1=U_1, u_2=U_2$ при $t=0, x>0$ и граничным условиям $u_1=u_1^*, u_2=u_2^*$ при $x=0, t>0$ в некоторой области задаваемых параметров могут соответствовать два различных решения, состоящих из последовательности простых и ударных волн, если значение выражения $2g/[(U_1^2 + U_2^2) \kappa_1]^{-1}$ достаточно мало.

Поведение ударных и простых волн существенно зависит от знака упругой константы κ_1 . В [4] исследовано решение в области неединственности для упругих сред с $\kappa_1>0$. Ниже приводятся результаты аналогичного исследования решения для упругих сред с $\kappa_1<0$. На фиг. 1 изображена ударная адиабата *AMHALD* (множество



Фиг. 1



Фиг. 2

состояний u_1, u_2 , в которые можно попасть скачком из начального состояния U_1, U_2 , соблюдая законы сохранения импульса и массы). Точка $A(1, 1)$ — начальная точка ударной адиабаты $AMHALD$. Точки H, L, D — точки Жуге. В точках Жуге L, D — скорость ударной волны равна характеристической по состоянию перед ней, в точке H скорость ударной волны равна характеристической скорости по состоянию за ней. Заштрихованная на фиг. 1 область является областью неединственности автомодельного решения ($2g/x_1 = -0,1$). Эта область представляет собой множество точек, координаты которых u_1^*, u_2^* соответствуют граничным условиям при $x=0, t>0$. Область ограничена участком ударной адиабаты ниже точки D и линиями D_1D, D_1L_1 — найденными и описанными в [2].

Для выделенной области неединственности, расположенной ниже отрезка ударной адиабаты DP , теоретически были найдены два решения [2]. Решение первого типа — последовательность двух ударных волн. Решение второго типа содержит быструю ударную волну и сложную медленную волну. Сложная медленная волна это последовательность волн, движущихся с близкими скоростями. Эта последовательность волн состоит из медленной ударной волны Жуге (скакок типа $A \rightarrow H$), простой волны и медленной ударной волны Жуге (скакок типа $A \rightarrow L$). Для части области неединственности, расположенной выше отрезка DP , решения содержат не быструю ударную волну, а быструю простую волну.

С целью проведения численного исследования решения в области неоднозначности поставлена начально-краевая задача для уравнения (1), для решений которой рассмотренные выше автомодельные решения могут представлять асимптотики при $t \rightarrow \infty$. Расчет проводился в области x, t , ограниченной отрезком оси x и неподвижными правой и левой границами. Начальные условия ($t=0$) и правое граничное условие ($t>0, x=l$) взяты в виде $u_1=1, u_2=1$ (точка A на фиг. 1). На левой границе ($t>0, x=0$) принято $u_1^*=-1,4, u_2^*=-2,2$ (точка B_1 на фиг. 1 из области неединственности решения).

Результаты расчетов для некоторого момента времени приведены на фиг. 2. На этом графике выделена последовательность двух ударных волн: скакок $A \rightarrow A_1$, затем скакок $A_1 \rightarrow B_1$. Точкам A, A_1, B_1 на фиг. 1 соответствуют участки постоянных значений u_1, u_2 на фиг. 2, которые выделены штрихпунктирными линиями. Эти постоянные значения представляют состояния за и перед ударными волнами $A \rightarrow A_1, A_1 \rightarrow B_1$ и удовлетворяют уравнениям соответствующих ударных адиабат с принятой степенью точности. Результаты, приведенные на фиг. 2, полностью совпадают с решением первого типа, рассмотренного теоретически.

Интересно отметить изменение величин u_1, u_2 в структуре ударной волны $A_1 \rightarrow B_1$ (см. фиг. 2). Сначала величина u_1 достигает локального максимума, затем величина u_2 достигает локального минимума. Это полностью согласуется с проведенным качественным исследованием решений, представляющих структуру соответствующих ударных волн. Качественное исследование проводилось аналогично [3].

Аналогичные расчеты проводились для других значений u_1^*, u_2^* на левой границе области x, t соответствующих точкам $B_2(-2, -2,6), B_3(-2,2, -2,8)$ из области неединственности. В этих случаях имело место решение первого типа.

Для сред с $\chi_1 < 0$ исследована задача о взаимодействии двух ударных волн, одна из которых догоняет другую. Решение этой задачи представляет интерес, когда соответствующее автомодельное решение неединственно. С этой целью была сформирована структура медленной ударной волны, соответствующей эволюционному скакку $A \rightarrow B$ (фиг. 1), затем структура догоняющей ее быстрой ударной волны, соответствующей эволюционному скакку $B \rightarrow C$ (фиг. 1). Точка C принадлежит ударной адиабате, проведенной из точки как начальной, и принадлежит области неединственности решения автомодельной задачи, соответствующей точке A как начальной. В результате проведенного численного расчета обнаружено, что при взаимодействии этих удар-

ных волн образуется две другие ударные волны: впереди идет быстрая, за ней медленная. Таким образом, решение выходит на автомодельную асимптотику, соответствующую решению первого типа автомодельной задачи.

Также численно была исследована задача о взаимодействии медленной ударной волны, соответствующей скачку из точки A в точку эволюционного участка LD и малого возмущения, сформированного перед ударной волной. В результате образуется одна ударная волна.

Таким образом, для сред с $x_1 < 0$ решение первого типа (последовательность быстрой простой или ударной волны и медленной ударной волны) реализуется наиболее часто. Аналогичный вывод был сделан в [4], при численном исследовании решения в области неединственности для упругих сред с $x_1 > 0$.

Автор благодарит Куликовского А. Г. и Свешникову Е. И. за внимание к работе и замечания.

СПИСОК ЛИТЕРАТУРЫ

1. Куликовский А. Г., Свешникова Е. И. Автомодельная задача о действии внезапной нагрузки на границу упругого полупространства // ПММ. 1985. Т. 49. Вып. 2. С. 284–291.
2. Куликовский А. Г., Свешникова Е. И. Нелинейные волны, возникающие при изменении напряжений на границе упругого полупространства // Вопросы нелинейной механики сплошной среды. Таллин: Валгус, 1985. С. 133–145.
3. Куликовский А. Г., Свешникова Е. И. О структуре квазипоперечных упругих ударных волн // ПММ. 1987. Т. 51. Вып. 6. С. 926–932.
4. Чугайнова А. П. О формировании автомодельного решения в задаче о нелинейных волнах в упругом полупространстве // ПММ. 1988. Т. 52. Вып. 4. С. 692–697.

Москва

Поступила в редакцию
8.XII.1988.

УДК 539.3

© 1990 г.

Ю. И. ВОЛОГЖАНИНОВ

ОПТИМАЛЬНЫЙ ПО ОБЪЕМУ ВАРИАНТ ПОЛЯРИЗАЦИОННО-ОПТИЧЕСКИХ ИЗМЕРЕНИЙ ДЛЯ РАЗДЕЛЕНИЯ НАПРЯЖЕНИЙ В ПЛОСКОСТЯХ СИММЕТРИИ

Вопросы минимизации объема экспериментальных измерений, необходимых для полного определения напряжений, рассматривались в [1–4].

Исследование пространственных задач поляризационно-оптическим методом связано с большим объемом измерений. Известные методики разделения напряжений в некоторой плоскости, в том числе и в плоскости симметрии, предполагают нахождение результатов нормального и наклонного просвечивания, как минимум в двух параллельных срезах или данных нормального просвечивания в перпендикулярных семействах срезов. В публикуемой работе показано, что объем необходимых для разделения напряжений измерений может быть существенно уменьшен. Установлено, что при разделении напряжений в плоскостях симметрии на основе метода разности касательных напряжений (МРКН), минимальный объем измерений соответствует использованию срезов или оптически-чувствительных слоев, наклоненных к плоскости симметрии под углом 45° .

Необходимые данные для численного интегрирования вдоль оси x уравнения равновесия

$$\frac{\partial \sigma_x}{\partial x} + \frac{\partial \tau_{xy}}{\partial y} + \frac{\partial \tau_{xz}}{\partial z} + X = 0 \quad (1)$$

могут быть получены на основе результатов нормального и наклонного просвечивания двух параллельных срезов, срединные плоскости которых $y=0$, $y=\Delta y$ или на основе нормального просвечивания двух перпендикулярных срезов, срединные плоскости которых $y=0$, $z=0$. Это обычный путь разделения напряжений на основе МРКН [5].

Рассмотрим возможности, появляющиеся при использовании срезов в плоскостях xy_1 и xz_1 , повернутых относительно плоскостей xy и xz на угол α . Уравнение (1) в сих x , y_1 , z_1 имеет вид

$$\frac{\partial \sigma_x}{\partial x} + \frac{\partial \tau_{xy_1}}{\partial y_1} + \frac{\partial \tau_{xz_1}}{\partial z_1} + X = 0 \quad (2)$$